



COBEM 79
V CONGRESSO BRASILEIRO DE
ENGENHARIA MECANICA

CAMPINAS, 12-13-14 e 15

DEZEMBRO 1979

PROCEEDINGS



TRABALHO DE PESQUISA
 RESEARCH PAPER

N.^o D-14

P.P. 217 - 229

ANÁLISE DE TENSÕES TÉRMICAS EM CASCAS DE REVOLUÇÃO

Raul Guenther

Prof. Aux. de Ensino - Depto. Eng. Mecânica
 CT/UFSC - Florianópolis - SC - Brasil

Domingos Boechat Alves

Prof. Titular - Depto. Eng. Mecânica
 CT/UFSC - Florianópolis - SC - Brasil

Sumário

Neste trabalho apresenta-se um modelo analítico-numérico para a determinação de tensões resultantes, deslocamentos e deformações em cascas finas de revolução, submetidas a uma distribuição de temperatura $T = T(s, \theta, z)$. O desenvolvimento analítico é realizado utilizando-se a primeira aproximação de Love, e a formulação numérica é feita através de diferenças finitas, sendo os resultados apresentados obtidos através de um programa digital.

Summary

This work describes an analitic-numerical process to analyse stress resultants, strains and displacements in thin shells of revolution, subjected to an arbitrary temperature distribution $T = T(s, \theta, z)$. The analitical development is based on Love's first approximation, and the numerical formulation is made by finite difference equations. The results presented are obtained by a digital program.

1. Introdução

Este trabalho apresenta um modelo analítico para o cálculo de tensões resultantes, deslocamentos e deformações em cascas finas de revolução, quando submetidas a uma dada distribuição de temperaturas $T = T(s, \theta, z)$. O material da casca é considerado elasto-termicamente ortotrópico, podendo ter propriedades variáveis ao longo do meridiano. A distribuição de temperatura no sentido circunferencial, deve ser suficientemente suave para que possa ser expandida em série de Fourier, e o módulo de elasticidade nesta direção, por ser considerado constante, é tomado para a temperatura média. A formulação numérica do modelo é baseada em diferenças finitas, e os resultados obtidos através de um programa digital desenvolvido em FORTRAN IV.

2. Equações fundamentais

A figura 1 mostra um elemento genérico com o sistema de referência da casca, as tensões resultantes, os deslocamentos e os parâmetros geométricos adimensionalizados através de a_0 e h_0 , respectivamente o comprimento e a espessura de referência.

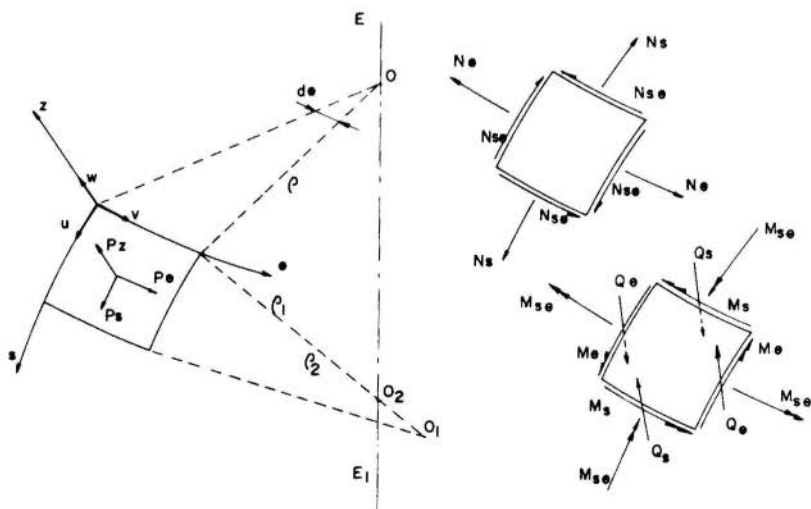


Fig. 1 - Elemento de casca e tensões resultantes

Integrando as equações de equilíbrio, determinadas na teoria da elasticidade [4], ao longo da espessura da casca, obtém-se as equações diferenciais de equilíbrio de um elemento genérico de cascas de revolução:

$$\begin{aligned}
 (\rho N_s)' + \dot{N}_{s\theta} - \rho' N_\theta + \frac{\rho}{\rho_1} Q_s &= -\rho p_s \\
 (\rho N_{s\theta})' + \dot{N}_\theta + \rho' N_{s\theta} - \rho_1 \rho'' Q_\theta &= -\rho p_\theta \\
 (\rho Q_s)' + \dot{Q}_\theta - \frac{\rho}{\rho_1} N_s + \rho_1 \rho'' N_\theta &= -\rho p_z \quad (1) \\
 (\rho M_s)' + \dot{M}_{s\theta} - \rho' M_\theta - \rho Q_s &= 0 \\
 (\rho M_{s\theta})' + \dot{M}_\theta + \rho' M_{s\theta} - \rho Q_\theta &= 0
 \end{aligned}$$

onde $()' = \partial/\partial s()$ e $(\dot{ }) = \partial/\partial \theta()$.

Se a superfície média da casca for tomada como a superfície de referência, e se as propriedades elásticas do material forem simétricas em relação à superfície média, a relação entre os vetores tensões resultantes $N = (N_s, N_\theta, N_{s\theta})$, $M = (M_s, M_\theta, M_{s\theta})$ e os vetores deformação $\epsilon = (\epsilon_s, \epsilon_\theta, \epsilon_{s\theta})$, e mudança de curvatura $k = (k_s, k_\theta, k_{s\theta})$ na superfície média é:

$$\begin{Bmatrix} N \\ M \end{Bmatrix} = \begin{bmatrix} A & 0 \\ 0 & D \end{bmatrix} \begin{Bmatrix} \epsilon \\ k \end{Bmatrix} - \begin{Bmatrix} P_T \\ M_T \end{Bmatrix} \quad (2)$$

onde $a_{ij} = a_{ji}$ são as constantes de rigidez extensionais, $d_{ij} = d_{ji}$ são as constantes de rigidez flexionais, $P_T = (P_{Ts}, P_{T\theta}, 0)$ e $M_T = (M_{Ts}, M_{T\theta}, 0)$ são respectivamente a força e o momento térmico [2].

As relações entre os vetores deformação e deslocamento, e mudança de curvatura e deslocamento utilizadas neste trabalho, foram desenvolvidas a partir das mesmas relações estabelecidas na teoria da elasticidade [4], observando-se as hipóteses e particularidades geométricas do problema de cascas delgadas de revolução [2].

$$\epsilon_s = u' + \rho_1^{-1} w$$

$$\epsilon_\theta = \rho^{-1} (\rho' u + \dot{v} - \rho_1 \rho'' w) \quad (3)$$

$$\epsilon_{s\theta} = \rho^{-1} \dot{u} - \rho' \rho^{-1} v + v'$$

$$k_s = -\rho_1' \rho_1^{-2} u + \rho_1^{-1} u' - w''$$

$$k_\theta = \rho' (\rho \rho_1)^{-1} u - \rho_1 \rho'' \rho^{-2} \dot{v} - \rho^{-2} \ddot{w} - \rho' \rho^{-1} w' \quad (4)$$

$$k_{s\theta} = (\rho \rho_1)^{-1} \dot{u} + [2\rho_1 \rho' \rho'' \rho^{-2} - (\rho_1 \rho'')' \rho^{-1}] v - \\ - \rho_1 \rho'' \rho^{-1} v' + 2\rho' \rho^{-2} \dot{w} - 2\rho^{-1} \dot{w}'$$

Eliminando todas as incógnitas exceto u, v, w e M_s , obtem-se um sistema de quatro equações diferenciais parciais. Expandindo as variáveis que são funções de θ em série de Fourier de maneira compatível [5], resulta um sistema de quatro equações diferenciais ordinárias na variável s , para cada harmônico n . Adimensionalizando todas as variáveis usando a_0, h_0, E_0 (módulo de elasticidade de referência), σ_0 (tensão de referência), T_0 (temperatura de referência) e considerando $X = (u, v, w, M_s)$, resulta:

$$PX'' + QX' + RX = C \quad (5)$$

onde os elementos das matrizes P, Q e R são funções dos parâmetros geométricos e das constantes de rigidez da casca, o vetor C é função dos parâmetros geométricos, dos carregamentos e da distribuição de temperaturas, e se encontram indicados no Apêndice.

O sistema de equações diferenciais (5) é de oitava ordem, exigindo portanto a prescrição de quatro condições de contorno em cada borda. Se

$$\hat{N}_{s\theta} = N_{s\theta} - \rho_1 \rho'' \rho^{-1} \beta M_{s\theta}, \quad \hat{Q}_s = Q_s + n \rho^{-1} \beta M_{s\theta} \quad (6)$$

são as tensões resultantes efetivas nas bordas, as condi-

ções de contorno em cada borda podem ser dadas [1]:

$$\begin{aligned}
 g_1 N_s + h_1 u &= e_1 \\
 g_2 \hat{N}_{s\theta} + h_2 v &= e_2 \\
 g_3 \hat{Q}_s + h_3 w &= e_3 \\
 g_4 \phi_s + h_4 M_s &= e_4
 \end{aligned}
 \tag{7}$$

onde $\phi_s = \rho_1^{-1} u - w'$ é a rotação da tangente à linha de coordenadas s .

Como N_s , $\hat{N}_{s\theta}$, \hat{Q}_s e ϕ_s podem ser escritas em função de X e X' , a equação diferencial que governa os contornos é:

$$EX' + FX = Y \tag{8}$$

onde os elementos das matrizes E , F e do vetor Y encontram-se indicados no Apêndice.

Resolvida a equação diferencial (5) com as condições de contorno (8), as tensões resultantes, deformações e mudanças de curvatura da superfície de referência, são determinadas respectivamente pelas equações (2), (3) e (4):

3. Formulação numérica

A formulação numérica das equações (5) e (8) é feita por diferenças finitas usando:

$$\begin{aligned}
 X'_1 &= (2h)^{-1}(-3X_1 + 4X_2 - X_3) + \Theta h^2 \\
 X'_i &= (2h)^{-1}(X_{i+1} - X_{i-1}) + \Theta h^2 \quad i = 2, n-1 \\
 X'_n &= (2h)^{-1}(X_{n-2} - 4X_{n-1} + 3X_n) + \Theta h^2 \\
 X''_i &= h^{-2}(X_{i-1} - 2X_i + X_{i+1}) + \Theta h^2 \quad i = 2, n-1
 \end{aligned}
 \tag{9}$$

onde h é o espaçamento pivotal e n é o número de pontos pivotaes.

Aplicando as equações (9) na equação (5), obtêm-se:

$$A_{1i} X_{i-1} + A_{2i} X_i + A_{3i} X_{i+1} = C_i \quad i = 2, n-1 \quad (10)$$

com $A_{1i} = h^{-2}P_i - (2h)^{-1}Q_i$, $A_{2i} = R_i - 2h^{-2}P_i$ e

$$A_{3i} = h^{-2}P_i + (2h)^{-1}Q_i$$

Aplicando as equações (9) na equação (8), obtêm-se para as bordas:

$$A_{11} X_1 + A_{21} X_2 + A_{31} X_3 = Y_1 \quad (11)$$

$$A_{1n} X_{n-2} + A_{2n} X_{n-1} + A_{3n} X_n = Y_n$$

onde $A_{11} = F_1 - 1,5h^{-1}E_1$, $A_{21} = 2h^{-1}E_1$, $A_{31} = -(2h)^{-1}E_1$

$$A_{1n} = (2h)^{-1}E_n, \quad A_{2n} = -2h^{-1}E_n, \quad A_{3n} = 1,5 h^{-1}E_n + F_n$$

Como as matrizes A_{11} e A_{3n} podem ser singulares, o sistema deve ser modificado antes de se proceder sua solução. Essa modificação consiste na obtenção de duas equações pela aplicação de (10) nos pontos $i = 2$ e $i = n-1$, com as quais elimina-se respectivamente A_{11} e A_{3n} , obtendo-se:

$$\bar{A}_{21} X_2 + \bar{A}_{31} X_3 = \bar{C}_2 \quad (12)$$

$$\bar{A}_{1,n-1} X_{n-2} + \bar{A}_{2,n-1} X_{n-1} = \bar{C}_{n-1}$$

onde $\bar{A}_{21} = A_{11}(A_{12})^{-1}A_{22} - A_{21}$, $\bar{A}_{31} = A_{11}(A_{12})^{-1}A_{32} - A_{31}$

$$\bar{C}_2 = A_{11}(A_{12})^{-1}C_2 - Y_1, \quad \bar{A}_{1,n-1} = A_{3n}(A_{3,n-1})^{-1}A_{1,n-1} - A_{1n}$$

$$\bar{A}_{2,n-1} = A_{3n}(A_{3,n-1})^{-1}A_{2,n-1} - A_{2n},$$

$$\bar{C}_{n-1} = A_{3n}(A_{3,n-1})^{-1}C_{n-1} - Y_n$$

Utilizando as equações (10) e (12) constroi-se um si

tema linear com uma forma característica, cuja solução através de um esquema numérico simples, que utiliza pouca memória de computador, encontra-se apresentada na referência [5]. Obtém-se, desta forma, as soluções para X_i , $i = 2, n-1$, sendo então X_1 e X_n determinados por

$$\begin{aligned} X_1 &= (A_{12})^{-1}(C_2 - A_{22} X_2 - A_{32} X_3) \\ X_n &= (A_{3,n-1})^{-1}(C_{n-1} - A_{1,n-1} X_{n-2} - A_{2,n-1} X_{n-1}) \end{aligned} \quad (13)$$

4. Resultados

Utilizando o programa desenvolvido, resolveu-se problemas com solução analítica conhecida, com o objetivo de verificar o modelo.

A figura 3 mostra o comportamento do deslocamento e das tensões resultantes próximas a uma extremidade livre de uma casca cilíndrica (figura 2), com temperatura interna constante positiva ($\Delta T/2$) e uma temperatura externa constante negativa ($-\Delta T/2$) de igual valor à temperatura interna, (ou seja, cujo carregamento é apenas um "momento térmico"). A solução analítica foi obtida a partir da referência [6], podendo-se observar que os resultados numéricos são bastante próximos a ela.

A figura 4 apresenta os resultados obtidos para uma casca cilíndrica uniformemente aquecida até uma temperatura T , engastada nos extremos. A solução analítica deste problema, é obtida nas referências [2, 3], considerando que a "força térmica" na direção axial é nula ($P_{Ts} = 0$), ao longo da casca e nos contornos. Introduzindo esta simplificação no programa, a solução numérica aproxima-se bastante da solução analítica, como pode ser observado. Para mostrar a implicação desta simplificação nos resultados, apresenta-se, também, a solução numérica sem considerá-la.

Soluções numéricas para outros harmônicos ($n \neq 0$), mostram a convergência dos coeficientes de Fourier para este problema.

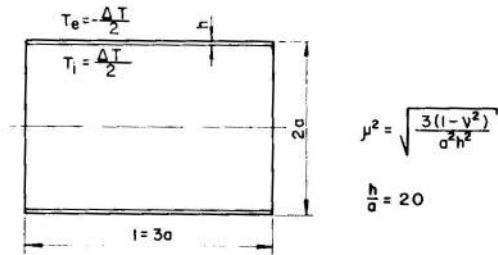


Fig.2 Casca cilíndrica com "momento térmico"

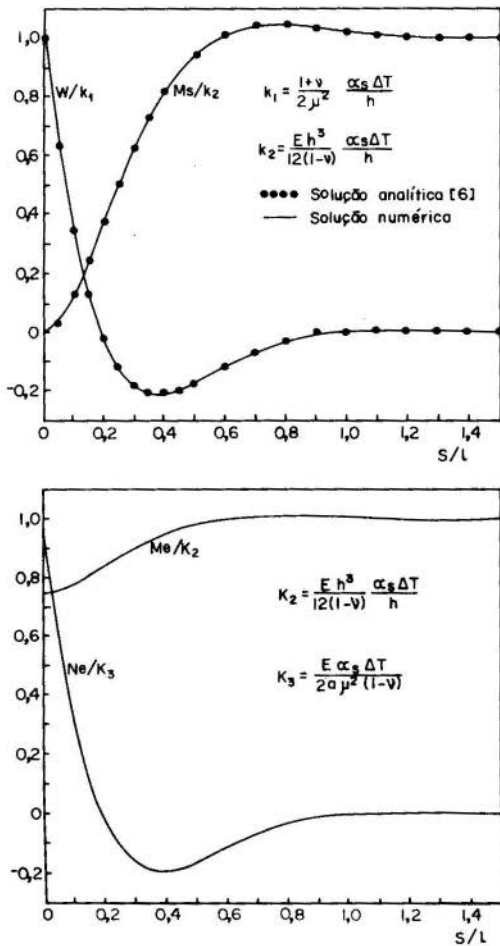


Fig.3 Deslocamento e tensões resultantes

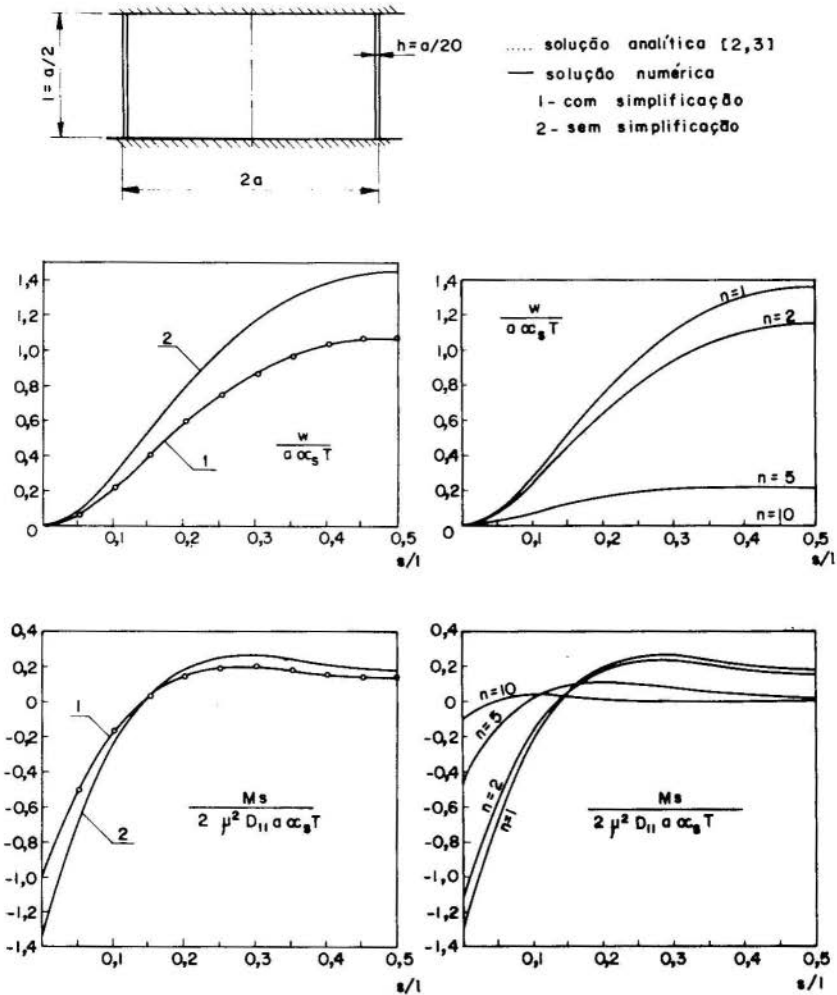


Fig.4 Casca cilíndrica uniformemente aquecida

5. Agradecimento

Os autores agradecem à Financiadora de Estudos e Projetos (FINEP) e à Comissão Nacional de Energia Nuclear (CNEN) que apoiaram a realização desta pesquisa.

Bibliografia

- [1] Alves, D.B., "Análise numérica de cascas ortotrópicas", Anais do IV COBEM, Paper nº A-11, pp. 131-142 (1977).
- [2] Kraus, H., "Thin elastic shells", John Wiley and Sons, Inc., New York (1967).
- [3] Timoshenko, S. and S. Woinowsky-Krieger, "Theory of plates and shells", 2nd. Ed., McGraw-Hill, Kogakusha, Tokyo, (1959).
- [4] Alves, D.B., "Teoria da elasticidade" - Centro Tecnológico/UFSC (1977).
- [5] Guenther, R., "Análise de tensões térmicas em cascas de revolução", Dissertação de Mestrado - UFSC (1979).
- [6] Kent, C.H., "Thermal stresses in thin-walled cylinders". Transactions of ASME - Applied Mechanics - APM - 53-13, pp. 167-180, (1953).

Apêndice

Elementos não nulos das matrizes P, Q, R e do vetor C:

$$P_{11} = \rho a_{11}, \quad P_{22} = \rho a_{33} + (\rho_1 \rho'')^2 (2\rho)^{-1} \beta d_{33},$$

$$P_{23} = -\rho^{-1} \rho_1 \rho'' \beta d_{33} n, \quad P_{32} = -\rho^{-1} \rho_1 \rho'' \beta d_{33} n,$$

$$P_{33} = \rho^{-1} (\rho')^2 \beta d_{33} \theta + 2\rho^{-1} \beta d_{33} n^2, \quad P_{34} = \rho \beta, \quad P_{43} = d_{11},$$

$$Q_{11} = \rho' a_{11} + \rho a'_{11}, \quad Q_{12} = [a_{12} + a_{33} - (2\rho)^{-1} \rho'' \beta d_{33}] n$$

$$Q_{13} = \rho_1^{-1} \rho a_{11} - \rho_1 \rho'' a_{12} + (\rho \rho_1)^{-1} (\rho')^2 \beta d_{33} \theta + (\rho \rho_1)^{-1} \beta d_{33} n^2$$

$$\begin{aligned}
q_{14} &= \rho_1^{-1} \rho \beta, \quad q_{21} = -[a_{12} + a_{33} - (2\rho)^{-1} \rho'' \beta d_{33}] n \\
q_{22} &= \rho' a_{33} + \rho a'_{33} + \rho^{-1} \rho_1 \rho'' \beta \{[(\rho_1 \rho'')]' - (2\rho)^{-1} \rho_1 \rho'' \rho'\} d_{33} + \\
&+ \rho_1 \rho'' d'_{33} / 2, \quad q_{23} = -(\rho^{-1} \rho_1 \rho'' d'_{33} + \rho^{-2} \rho_1 \rho'' \rho' d\theta) \beta n \\
q_{31} &= \rho_1 \rho'' a_{12} - \rho_1^{-1} \rho a_{11} - (\rho \rho_1)^{-1} (\rho')^2 \beta d\theta - (\rho \rho_1)^{-1} \beta d_{33} n^2 \\
q_{32} &= \{2[\rho^{-2} \rho_1 \rho'' \rho' - \rho^{-1} (\rho_1 \rho'')]'\} d_{33} - \rho^{-1} \rho_1 \rho'' d'_{33} + \\
&+ \rho^{-2} \rho_1 \rho'' \rho' d\theta \beta n, \quad q_{33} = \{[2\rho^{-1} \rho' \rho'' - \rho^{-2} (\rho')^3] d\theta + \\
&+ \rho^{-1} (\rho')^2 d\theta'\} \beta - 2(\rho^{-2} \rho' d_{33} - \rho^{-1} d'_{33}) \beta n^2 \\
q_{34} &= \rho' (2-ds) \beta, \quad q_{41} = -\rho_1^{-1} d_{11}, \quad q_{43} = \rho^{-1} \rho' d_{12} \\
r_{11} &= \rho'' a_{12} + \rho' a'_{12} - \rho^{-1} (\rho')^2 a_{22} - (\rho \rho_1^2)^{-1} (\rho')^2 \beta d\theta - \\
&- [\rho^{-1} a_{33} + (2\rho \rho_1^2)^{-1} \beta d_{33}] n^2 \\
r_{12} &= \{a'_{12} - \rho^{-1} \rho' (a_{22} + a_{33}) + \beta[\rho^{-2} \rho' \rho'' (d_{33} + d\theta) - \\
&- (2\rho \rho_1)^{-1} (\rho_1 \rho'')]'\} n \\
r_{13} &= (\rho_1^{-1} \rho' - \rho_1^{-2} \rho \rho_1') a_{11} + \rho_1^{-1} \rho a'_{11} - [(\rho_1 \rho'')]' + \rho_1^{-1} \rho'] a_{12} - \\
&- \rho_1 \rho'' a'_{12} + \rho^{-1} \rho_1 \rho'' \rho' a_{22} - (\rho_1 \rho^2)^{-1} \rho' \beta (d_{33} + d\theta) n^2 \\
r_{14} &= \rho_1^{-1} \rho' \beta (1-ds), \quad r_{21} = -[\rho^{-1} \rho' (a_{22} + a_{33}) + a'_{33} - \\
&- \rho^{-2} \rho' \rho'' \beta (d_{33} / 2 + d\theta) - (2\rho)^{-1} \rho'' \beta d'_{33} + (2\rho \rho_1)^{-1} \rho_1 \rho'' \beta d_{33}] n \\
r_{22} &= -[\rho^{-1} (\rho')^2 + \rho''] a_{33} - \rho' a'_{33} + \rho^{-1} \rho_1 \rho'' \beta \{[(\rho_1 \rho'')]'' / 2 - \\
&- (2\rho)^{-1} (\rho_1 \rho'')' \rho' - \rho^{-1} \rho_1 (\rho'')^2\} d_{33} + [(\rho_1 \rho'')]' / 2 - \\
&- \rho^{-1} \rho_1 \rho'' \rho'\} d'_{33} - [\rho^{-1} a_{22} + \rho^{-3} (\rho_1 \rho'')^2 \beta d\theta] n^2
\end{aligned}$$

$$r_{23} = \rho^{-3} \rho_1 \rho'' \beta d\theta n^3 - [\rho_1^{-1} a_{12} - \rho^{-1} \rho_1 \rho'' a_{22} - \rho^{-2} \rho_1 (\rho'')^2 \beta d_{33} - \rho^{-2} \rho_1 \rho'' \beta d_{33}'] n, \quad r_{24} = \rho^{-1} \rho_1 \rho'' \beta ds n$$

$$r_{31} = \rho^{-1} \rho_1 \rho'' \rho' a_{22} - \rho_1^{-1} \rho' a_{12} + [(\rho^2 \rho_1)^{-1} (\rho')^3 - 2(\rho \rho_1)^{-1} \rho' \rho'' + (\rho \rho_1^2)^{-1} (\rho')^2 \rho_1'] \beta d\theta - (\rho \rho_1)^{-1} (\rho')^2 \beta d\theta' - [(\rho \rho_1)^{-1} d_{33}' - (\rho \rho_1^2)^{-1} \rho_1' d_{33} + (\rho^2 \rho_1)^{-1} \rho' d\theta] \beta n^2$$

$$r_{32} = \{-\rho_1^{-1} a_{12} + \rho^{-1} \rho_1 \rho'' a_{22} + [2\rho^{-2} (\rho_1 \rho'')' \rho' + 2\rho^{-2} (\rho_1 \rho'') \rho'' - 2\rho^{-3} \rho_1 \rho'' (\rho')^2 - \rho^{-1} (\rho_1 \rho'')''] \beta d_{33} + [2\rho^{-2} \rho_1 \rho'' \rho' - \rho^{-1} (\rho_1 \rho'')''] \beta d_{33}' + [\rho^{-2} (\rho_1 \rho'')' \rho' - 2\rho^{-3} \rho_1 \rho'' (\rho')^2 + \rho^{-2} \rho_1 (\rho'')^2] \beta d\theta + \rho^{-2} \rho_1 \rho'' \rho' \beta d\theta'\} n + \rho^{-3} \rho_1 \rho'' \beta d\theta n^3$$

$$r_{33} = 2\rho'' a_{12} - \rho_1^{-2} \rho a_{11} - \rho^{-1} (\rho_1 \rho'')^2 a_{22} - \{2[\rho^{-2} \rho'' - \rho^{-3} (\rho')^2] d_{33} + 2\rho^{-2} \rho' d_{33}' + [\rho^{-2} \rho'' - 2\rho^{-3} (\rho')^2] d\theta + \rho^{-2} \rho' d\theta'\} \beta n^2 - \rho^{-3} \beta d\theta n^4$$

$$r_{34} = [\rho''(1 - ds) - \rho' ds'] \beta - \rho^{-1} \beta ds n^2$$

$$r_{41} = \rho_1^{-2} \rho_1' d_{11} - (\rho \rho_1)^{-1} \rho' d_{12}, \quad r_{42} = \rho^{-2} \rho_1 \rho'' d_{12} n$$

$$r_{43} = -\rho^{-2} d_{12} n^2, \quad r_{44} = 1$$

$$c_1 = -\rho p_s + \rho p_{T_s}' + \rho' (p_{T_s} - p_{T_\theta}) + \rho_1^{-1} \rho' \beta (ds M_{T_s} - M_{T_\theta})$$

$$c_2 = -\rho p_\theta - n p_{T_\theta} - \rho^{-1} \rho_1 \rho'' \beta n (ds M_{T_s} - M_{T_\theta})$$

$$c_3 = -\rho p_z + \rho_1 \rho'' p_{T_\theta} - \rho_1^{-1} \rho p_{T_s} + \beta [\rho' ds' M_{T_s} + \rho'' (ds M_{T_s} - M_{T_\theta}) + \rho^{-1} (ds M_{T_s} - M_{T_\theta}) n^2 + \rho' (ds M_{T_s}' - M_{T_\theta}')]$$

$$c_4 = -M_{TS}$$

Elementos não nulos das matrizes E, F e do vetor Y:

$$\begin{aligned}
 e_{11} &= g_1 a_{11}, & e_{22} &= g_2 [(2\rho^2)^{-1}(\rho_1 \rho'')^2 \beta d_{33} + a_{33}] \\
 e_{23} &= -g_2 \rho^{-2} \rho_1 \rho'' \beta d_{33} n, & e_{32} &= -g_3 \rho^{-2} \rho_1 \rho'' \beta d_{33} n \\
 e_{33} &= g_3 [\rho^{-2} (\rho')^2 \beta d_{33} + 2\rho^{-2} \beta d_{33} n^2], & e_{34} &= g_3 \beta, & e_{43} &= -g_4 \\
 f_{11} &= g_1 \rho^{-1} \rho' a_{12} + h_1, & f_{12} &= g_1 \rho^{-1} a_{12} n, & f_{13} &= g_1 (\rho_1^{-1} a_{11} - \\
 & - \rho^{-1} \rho_1 \rho'' a_{12}), & f_{12} &= g_2 [(2\rho^2)^{-1} \rho'' \beta d_{33} - \rho^{-1} a_{33}] n \\
 f_{22} &= -g_2 \{\rho^{-1} \rho' a_{33} + \rho^{-1} \rho_1 \rho'' [\rho^{-2} \rho_1 \rho'' \rho' - (2\rho)^{-1} (\rho_1 \rho'')] \beta d_{33}\} \\
 & + h_2, & f_{23} &= g_2 \rho^{-3} \rho_1 \rho'' \rho' \beta d_{33} n, & f_{31} &= -g_3 [(\rho_1 \rho^2)^{-1} (\rho')^2 \cdot \\
 & \cdot \beta d_{33} + (\rho_1 \rho^2)^{-1} \beta d_{33} n^2], & f_{32} &= g_3 [\rho^{-3} \rho_1 \rho'' \rho' (2d_{33} + d_{33}) - \\
 & - \rho^{-2} (\rho_1 \rho'')' d_{33}] \beta n, & f_{33} &= -g_3 \rho^{-3} \rho' (2d_{33} + d_{33}) \beta n^2 + h_3 \\
 f_{34} &= g_3 \rho^{-1} \rho' (1 - ds) \beta, & f_{41} &= g_4 \rho_1^{-1}, & f_{44} &= h_4 \\
 y_1 &= e_1 + g_1 p_{TS}, & y_2 &= e_2, & y_3 &= e_3 + g_3 \rho^{-1} \rho' \beta (ds M_{TS} - M_{T\theta}) \\
 y_4 &= e_4
 \end{aligned}$$

onde

$$ds = \frac{d_{12}}{d_{11}} \quad d\theta = \frac{d_{11} d_{22} - d_{12}^2}{d_{11}} \quad \beta = h_0/a_0$$